

取定 s 的严格 d -正则随机 $(3, 2s)$ -SAT 问题的可满足临界*

王永平^{1,2}, 许道云¹

¹(贵州大学 计算机科学与技术学院, 贵州 贵阳 550025)

²(贵州财经大学 数统学院, 贵州 贵阳 550025)

通讯作者: 许道云, E-mail: dyxu@gzu.edu.cn



摘要: 3-CNF 公式的随机难解实例生成对于揭示 3-SAT 问题的难解实质和设计满足性测试的有效算法有着重要意义. 对于整数 $k > 2$ 和 $s > 0$, 如果在一个 k -CNF 公式中每个变量正负出现次数均为 s , 则称该公式是严格正则 $(k, 2s)$ -CNF 公式. 受严格正则 $(k, 2s)$ -CNF 公式的结构特征启发, 提出每个变量正负出现次数之差的绝对值均为 d 的严格 d -正则 $(k, 2s)$ -CNF 公式, 并使用新提出的 SDRRK2S 模型生成严格 d -正则随机 $(k, 2s)$ -CNF 公式. 取定整数 $5 < s < 11$, 模拟实验显示, 严格 d -正则随机 $(3, 2s)$ -SAT 问题存在 SAT-UNSAT 相变现象和 HARD-EASY 相变现象. 因此, 立足于 3-CNF 公式的随机难解实例生成, 研究了严格 d -正则随机 $(3, 2s)$ -SAT 问题在 s 取定时的可满足临界. 通过构造一个特殊随机实验和使用一阶矩方法, 得到了严格 d -正则随机 $(3, 2s)$ -SAT 问题在 s 取定时可满足临界值的一个下界. 模拟实验结果验证了理论证明所得下界的正确性.

关键词: 3-CNF 公式; 随机难解实例生成; 正则子类; 严格 d -正则随机 $(3, 2s)$ -SAT 问题; 可满足临界

中图法分类号: TP301

中文引用格式: 王永平, 许道云. 取定 s 的严格 d -正则随机 $(3, 2s)$ -SAT 问题的可满足临界. 软件学报, 2021, 32(9): 2629–2641. <http://www.jos.org.cn/1000-9825/6049.htm>

英文引用格式: Wang YP, Xu DY. Satisfiability threshold of strictly d -regular random $(3, 2s)$ -SAT problem for fixed s . Ruan Jian Xue Bao/Journal of Software, 2021, 32(9): 2629–2641 (in Chinese). <http://www.jos.org.cn/1000-9825/6049.htm>

Satisfiability Threshold of Strictly d -regular Random $(3, 2s)$ -SAT Problem for Fixed s

WANG Yong-Ping^{1,2}, XU Dao-Yun¹

¹(College of Computer Science and Technology, Guizhou University, Guiyang 550025, China)

²(School of Mathematics and Statistics, Guizhou University of Finance and Economics, Guiyang 550025, China)

Abstract: Generating random hard instances of the 3-CNF formula is an important factor in revealing the intractability of the 3-SAT problem and designing effective algorithms for satisfiability testing. Let $k > 2$ and $s > 0$ be integers, a k -CNF formula is a strictly regular $(k, 2s)$ -CNF one if the positive and negative occurrence number of every variable in the formula are s . On the basis of the strictly regular $(k, 2s)$ -CNF formula, the strictly d -regular $(k, 2s)$ -CNF formula is proposed in which the absolute value of the difference between positive and negative occurrence number of every variable is d . A novel model is constructed to generate the strictly d -regular random $(k, 2s)$ -CNF formula. The simulated experiments show that the strictly d -regular random $(3, 2s)$ -SAT problem has an SAT-UNSAT phase transition and a HARD-EASY phase transition when the parameter $5 < s < 11$ is fixed, and that the latter is related to the former. Hence, the satisfiability threshold of the strictly d -regular random $(3, 2s)$ -SAT problem is studied when the parameter s is fixed. A lower bound of the satisfiability threshold is obtained by constructing a random experiment and using the first moment method. The subsequent simulated experiments verify well the lower bound proved.

Key words: 3-CNF formula; generating random hard instances; subclass with regular structure; strictly d -regular random $(3, 2s)$ -SAT problem; satisfiability threshold

* 基金项目: 国家自然科学基金(61762019, 61862051)

Foundation item: National Natural Science Foundation of China (61762019, 61862051)

收稿时间: 2019-03-22; 修改时间: 2019-11-28; 采用时间: 2020-04-03; jos 在线出版时间: 2020-05-26

设 N 是正整数, x_1, x_2, \dots, x_N 是布尔变量. 对于任取的 $x \in \{x_1, x_2, \dots, x_N\}$, 称 $\neg x$ 和 x 为文字, 其中, $\neg x$ 是 x 的否定. 有限个文字的析取构成一个子句, 而有限个子句的合取构成一个合取范式 (conjunctive normal form, 简称 CNF) 公式. 设 F 是一个 CNF 公式, 如果存在一个真值指派 $\sigma \in \{0, 1\}^N$ 使得 F 取值为真, 则称 F 是可满足的, 并称 σ 是 F 的一个解. 如果 F 没有解, 则称 F 是不可满足的. 例如, $F = (x_1 \vee \neg x_2) \wedge (x_3 \vee \neg x_4 \vee \neg x_5)$ 是一个包含两个子句的 CNF 公式, 而 $\sigma = (0, 0, 1, 1, 1)$ (这意味 $(x_1, x_2, x_3, x_4, x_5) = (0, 0, 1, 1, 1)$) 是 F 的一个解 (这里, $\sigma(\neg x) = \neg \sigma(x)$).

习惯地, 将判定一个 CNF 公式是否可满足称为求解该公式. 设整数 $k > 2$, 如果一个 CNF 公式的每个子句恰好包含 k 个文字, 则称该公式是 k -CNF 公式. 求解任意一个 k -CNF 公式的问题称为 k -SAT 问题. 1973 年, Levin 证明了 3-SAT 问题是 NP-完全的^[1]. 这说明: 如果 $P \neq NP$, 则 3-SAT 问题不存在多项式时间算法. 因此, 3-CNF 公式的随机难解实例生成, 对于揭示 3-SAT 问题的难解实质和设计满足性测试的有效算法有着重要意义.

均匀 k -SAT 模型用于生成具有 M 个子句和 N 个变量的随机 k -CNF 公式, 其中, M 和 N 是正整数. 该模型先从 $2^k \binom{N}{k}$ 个可能的子句中均匀且相互独立地选取 M 个子句, 而后再将这些子句合取成一个 k -CNF 公式. 设 F 是一个随机 3-CNF 公式, 其子句数 M 与变量数 N 的比值为 α . 1999 年, Friedgut 等人证明了随机 3-SAT 问题存在 SAT-UNSAT 相变现象^[2]: 存在一个变量数 N 的函数 α_3 , 使得当 $\alpha < \alpha_3$ 时, 随机 3-CNF 公式是高概率可满足的; 而当 $\alpha > \alpha_3$ 时, 随机 3-CNF 公式是高概率不可满足的. 虽然到目前为止还不知道 α_3 的具体值, 但文献[3,4]得到了 $3.52 \leq \alpha_3 \leq 4.4898$, 而文献[5]基于一个单调性假设得到了 $\alpha_3 \leq 4.262$. 此外, 模拟实验估计 α_3 的值取得了较好的结果^[6-9]: $\alpha_3 \approx 4.267$, 并且随机 3-CNF 公式的难解实例集中在 $\alpha = 4.267$ 附近. 综上, 比值 α 不仅与随机 3-CNF 公式是否可满足有关, 还与求解该类公式的难度有关.

设 F 是一个 CNF 公式, x 是 F 的一个变量. 称文字 $x(\neg x)$ 在 F 中的出现次数是 x 在 F 中的正(负)出现次数, 并称 x 在 F 中的正出现次数与负出现次数之和是 x 在 F 中的出现次数. 设整数 $s > 0$, 如果在一个 k -CNF 公式中每个变量均出现 s 次, 则称该公式是正则 (k, s) -CNF 公式. 文献[10]利用多项式归约技术证明了正则 $(3, 4)$ -SAT 问题是 NP-完全的. 这说明, 存在难解的正则 $(3, 4)$ -CNF 公式实例. 文献[11]利用 Zchaff 求解器^[12] (该求解器是目前求解 3-CNF 公式最有效的完备求解器) 进行的模拟实验表明: 当每个变量正负出现次数之差的绝对值至多是 1 时, 正则 $(3, s)$ -CNF 公式的随机难解实例集中在 $s=11$ 附近, 并且 $s=11$ 时求解该类实例的难度远大于比值 $\alpha=4.267$ 时求解随机 3-CNF 公式实例的难度. 注意到, 正则 $(3, s)$ -CNF 公式的子句数与变量数的比值恒为 $s/3$, 因此, 文献[10,11]的上述结论说明: 当 $s=4$ 或 11, 即比值 $\alpha=4/3$ 或 $11/3$ 时, 存在 3-CNF 公式的难解实例, 只不过实例是正则的. 受此启发, 我们考虑了取定 s 时正则 $(3, s)$ -CNF 公式的随机难解实例生成问题. 注意到: 对于正则 $(3, s)$ -CNF 公式来说, s 取定意味着比值 $\alpha \approx s/3$. 因此, 当 s 取定时, 需要找到类似于比值 α 的新参数, 使得该新参数不仅影响正则 $(3, s)$ -CNF 公式是否可满足, 还影响求解该类公式的难度. 文献[13-16]分别从 SAT-UNSAT 相变、解的个数等方面研究了严格正则 (k, s) -CNF 公式, 其中, s 是偶数, 每个变量的正负出现次数均为 $s/2$. 显然, 在严格正则 (k, s) -CNF 公式中, 每个变量正负出现次数之差均为 0. 结合文献[11,13-16], 我们提出了每个变量正负出现次数之差的绝对值均为 d 的严格 d -正则 (k, s) -CNF 公式. 该类公式是正则 (k, s) -CNF 公式的一个子类, 而 d 是取定的非负整数. 注意到: 当 s 是偶数时, 参数 d 的可能取值为 $0, 2, \dots, s$; 当 s 是奇数时, 参数 d 的可能取值为 $1, 3, \dots, s$. 为方便讨论, 在本文中, 我们选择 s 是偶数的情形, 即严格 d -正则 $(k, 2r)$ -CNF 公式的情形, 其中, $r > 0$ 是整数. 为保持符号一致, 我们将严格 d -正则 $(k, 2r)$ -CNF 公式仍表述为严格 d -正则 $(k, 2s)$ -CNF 公式.

类似于使用均匀 k -SAT 模型生成随机 k -CNF 公式, 借鉴已有模型^[11,13,17,18], 我们提出一个新的模型来生成严格 d -正则随机 $(k, 2s)$ -CNF 公式. 在这个模型生成公式时, 先由 N 个变量得到 $2Ns$ 个文字, 其中, 每个变量均出现 $2s$ 次, 并且均以相等的概率正出现 $s + \frac{d}{2}$ 或 $s - \frac{d}{2}$ 次; 再从这 $2Ns$ 个文字的置换全体中均匀地选择一个置换, 并根据该置换生成一个公式. 为方便起见, 称该模型是 SDRRK2S 模型. 在下一节, 我们将详细叙述这一模型.

本文立足于 3-CNF 公式的随机难解实例生成. 为此, 我们通过模拟实验观察了 s 取定时, 参数 d 与严格 d -正则随机 $(3, 2s)$ -CNF 公式是否可满足及其求解难度的关系. 我们分别选取了 $s=1, 2, \dots, 10$, 并且对于每一个 s 值分别

选取了 $N=180$ 和 210 .对于取定的 $s, N, k=3$ 以及 $d \in \{0, 2, \dots, 2s\}$,先使用 SDRRK2S 模型生成 100 个实例,再使用 Zchaff 求解器^[12]逐一求解,最后统计可满足实例占比以及求解一个实例的平均时间.图 1、图 2 给出了 $N=180$ 时的模拟实验结果.注意到, $N=210$ 时也有类似的结果.为节约篇幅,我们没有展示 $N=210$ 时的实验结果.

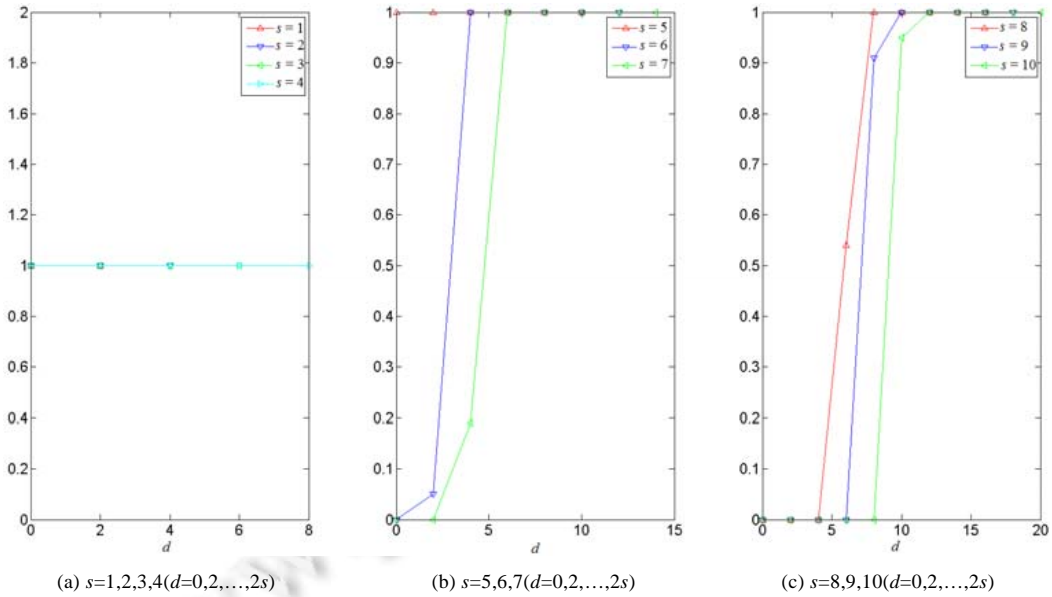


Fig.1 Ratio of satisfiable instances when $N=180$ and $s \in \{1, 2, \dots, 10\}$

图 1 当 $N=180$ 而 $s=1, 2, \dots, 10$ 时的可满足实例占比

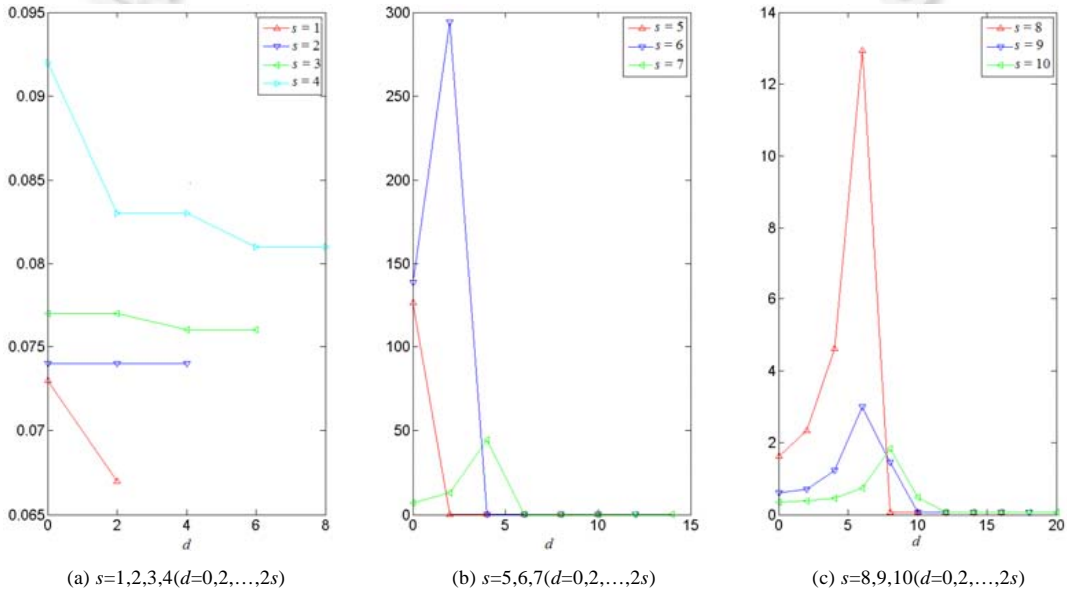


Fig.2 Average time in seconds for solving an instance when $N=180$ and $s \in \{1, 2, \dots, 10\}$

图 2 当 $N=180$ 而 $s=1, 2, \dots, 10$ 时,求解一个实例的平均时间(s)

取定整数 $5 < s < 11$,由图 1 和图 2 可知,严格 d -正则随机 $(3,2s)$ -SAT 问题存在 SAT-UNSAT 相变现象和 HARD-EASY 相变现象.另外,由图 1(b)、图 2(b)、图 1(c)和图 2(c)可知:对于取定的整数 $5 < s < 11$,严格 d -正则随机 $(3,2s)$ -

SAT 问题的 HARD-EASY 相变现象与 SAT-UNSAT 相变现象有着一定联系.例如:当 $s=6$ 时,SAT-UNSAT 相变点位于 $d=2$ 与 $d=4$ 之间(如图 1(b)所示),而 HARD-EASY 相变点位于 $d=2$ 处(见图 2(b)).再如:当 $s=10$ 时,SAT-UNSAT 相变点位于 $d=8$ 与 $d=10$ 之间(如图 1(c)所示),而 HARD-EASY 相变点位于 $d=8$ 处(见图 2(c)).因此,在理论上研究严格 d -正则随机 $(3,2s)$ -SAT 问题在 s 取定时的 SAT-UNSAT 相变现象有助于 3-CNF 公式的随机难解实例生成.在本文中,我们借鉴已有做法^[13],通过构造一个特殊随机实验和使用一阶矩方法给出了严格 d -正则随机 $(3,2s)$ -SAT 问题在 s 取定时可满足临界值的一个下界.模拟实验结果验证了理论证明所得下界的正确性.

1 SDRRK2S 模型

2005 年,Boufkhad 等人^[17]提出了一种不同于均匀 k -SAT 模型的新模型来生成具有 N 个变量和 αN 个子句的随机 k -CNF 公式.显然,该模型所生成公式的子句数与变量数的比值恰好是 α .在该模型生成公式时,每个变量对应的两个文字均以概率 $p = \left\lfloor \frac{k\alpha}{2} \right\rfloor + 1 - \frac{k\alpha}{2}$ 出现 $\left\lfloor \frac{k\alpha}{2} \right\rfloor$ 次,以概率 $1-p$ 出现 $\left\lfloor \frac{k\alpha}{2} \right\rfloor + 1$ 次.这说明,每个变量出现次数的期望值均为 $k\alpha$.因此,文献[17]所讨论的公式已经非常接近正则的 k -CNF 公式.记文字多重集 $\{x_1, \dots, x_1, \neg x_1, \dots, \neg x_1, x_2, \dots, x_2, \neg x_2, \dots, \neg x_2, \dots, x_N, \dots, x_N, \neg x_N, \dots, \neg x_N\}$ 为 L ,其中,对于每一个 $i \in [N] = \{1, 2, \dots, N\}$, x_i 与 $\neg x_i$ 的个数都是 $\left\lfloor \frac{k\alpha}{2} \right\rfloor$ 或 $\left\lfloor \frac{k\alpha}{2} \right\rfloor + 1$.文献[17]的模型先均匀地将集合 L 划分成 $\frac{|L|}{k}$ 个部分,使得每个部分均包含 k 个文字(在本文中,符号 $| \cdot |$ 总表示某个集合的元素个数);然后,通过将 $\frac{|L|}{k}$ 个部分各自构成子句来得到一个随机公式.文献[17]的模拟实验(使用了文献[3]提出的贪心算法)表明:所生成的公式存在 SAT-UNSAT 相变现象,而且当 $k=3$ 时,难解实例集中在 $\alpha=3.5$ 附近.这说明,文献[17]的模型有助于 3-CNF 公式的随机难解实例生成.此外,文献[17]还分别使用一阶矩方法和文献[3]提出的贪心算法证明了:当 $k=3$ 并且 $\alpha > 3.7822$ 时,所生成的公式是高概率不可满足的;而当 $k=3$ 并且 $\alpha < 2.46$ 时,所生成的公式是高概率可满足的.随后,Rathi 等人^[18]通过在文献[17]的模型上增加一个限制条件来生成随机 k -CNF 公式.该条件要求每个变量对应的两个文字具有相同的出现次数.在文献[18]中,Rathi 等人分别使用一阶矩方法和二阶矩方法证明了:当 $k=3$ 并且 $\alpha > 3.7822$ 时,所生成的公式是高概率不可满足的;而当 $k=3$ 并且 $\alpha < 2.667$ 时,所生成的公式是高概率可满足的.

如果在一个子句中,每个变量至多出现一次,则称该子句是合法子句;否则是非法子句.一个格局公式^[17]可能包含非法子句.文献[17,18]的模型生成的是格局公式.当一个格局公式不包含非法子句时,称之为简单公式.周锦程等人^[11]提出了一个模型来生成不包含重复子句的简单正则随机 $(3,s)$ -CNF 公式.在文献[11]的模型生成公式时:若 s 是偶数,则每个变量对应的两个文字均出现 $s/2$ 次;若 s 是奇数,则每个变量均出现 s 次,但以相等的概率正出现 $\frac{s+1}{2}$ 或 $\frac{s-1}{2}$ 次.表面上,文献[11]的模型由文字多重集(见文献[17]的相应叙述)得到随机公式的方式与文献[17]的情形有很大的不同,但二者本质上是相同的,只不过文献[11]的模型除去了不是简单公式或包含重复子句的实例.文献[11]的模拟实验(使用 Zchaff 求解器^[12])表明:所生成的公式存在 SAT-UNSAT 相变现象,而且难解实例集中在 $s=11$ 附近(即比值 $\alpha=3.667$ 附近).这说明文献[11]的模型虽然不同于文献[17]的模型,但仍然有助于 3-CNF 公式的随机难解实例生成.文献[11]还使用一阶矩方法证明了:当 $s > 11$ 时,所生成的公式是高概率不可满足的.此外,由于所生成的公式是简单公式而且不包含重复子句,文献[11]的模型不太容易生成公式实例.因此,在文献[13]中,周锦程等人放弃了简单公式以及不包含重复子句的限制,修改了文献[17]的模型以生成正则随机 $(k,2s)$ -CNF 公式.在文献[13]的模型生成公式时,每个变量对应的两个文字均出现 s 次,从而每个变量均出现 $2s$ 次.本质上,文献[13]的模型是通过均匀地选择文字多重集(见文献[17]的相应叙述)的一个置换来得到一个随机公式的,从而得到的也是格局公式.在文献[13]中,周锦程等人通过构造一个特殊随机实验,并结合一阶矩方法证明了:当 $k=3$ 并且比值 $\alpha > 3.7822$ 时,所生成的公式是高概率不可满足的.此外,当 k 较大时,周锦程等人^[15]利用一阶复本对称破缺理论并结合一阶矩方法改进了文献[13]的结果.

SDRRK2S 模型用来生成严格 d -正则随机 $(k,2s)$ -CNF 公式.注意到:在一个严格 d -正则 $(k,2s)$ -CNF 公式中,

每个变量均出现 $2s$ 次,并且正负出现次数之差的绝对值均为 d .这意味着,每个变量均只能正出现 $s + \frac{d}{2}$ 或 $s - \frac{d}{2}$ 次.因此,在 SDRRK2S 模型中,借鉴了文献[11]的模型当 s 是奇数时的情形来确定每个变量的正出现次数:每个变量均出现 $2s$ 次,但以相等的概率正出现 $s + \frac{d}{2}$ 或 $s - \frac{d}{2}$ 次.另一方面,当 $k=3$ 并且比值 $\alpha > 3.7822$ 时,文献[13,17,18]的模型生成的公式均是高概率不可满足的;但文献[13]的模型由文字多重集得到随机公式的方式更便于计数.因此,在 SDRRK2S 模型中,采用了由文字多重集的一个置换得到一个随机公式的方式.

设整数 $k > 2, s > 0, N > 0$ 以及 $d \in \{0, 2, \dots, 2s\}$, 则 SDRRK2S 模型可叙述如下.

Input: 子句长度 k , 变量出现次数 $2s$, 变量个数 N , 变量正负出现次数之差的绝对值 d , 其中, $2Ns$ 是 k 的倍数.

Step 1. 对于每一个 $i \in [N]$, 以随机方式生成多重集 $A_i = \{x_i, \dots, x_i, \neg x_i, \dots, \neg x_i\}$, 其中, A_i 中有 $2s$ 个元素, 而且 x_i 的个数以相等的概率取 $s + \frac{d}{2}$ 或 $s - \frac{d}{2}$.

Step 2. 记多重集 $A = \bigcup_{i=1}^N A_i$, 并均匀地从 A 的置换全体中选择一个置换.不妨设该置换为

$$a_1, a_2, \dots, a_k, a_{k+1}, a_{k+2}, \dots, a_{2k}, \dots, a_{2Ns-k+1}, a_{2Ns-k+2}, \dots, a_{2Ns}.$$

Step 3. 根据 Step 2 中的置换生成公式 F 如下:

$$F = (a_1 \vee a_2 \vee \dots \vee a_k) \wedge (a_{k+1} \vee a_{k+2} \vee \dots \vee a_{2k}) \wedge \dots \wedge (a_{2Ns-k+1} \vee a_{2Ns-k+2} \vee \dots \vee a_{2Ns}).$$

Output: 输出公式 F .

注意,SDRRK2S 模型生成的公式是含有 N 个布尔变量的格局公式.因此,该类公式可能包含非法子句.实际上,由文献[17]可知:当 $k=3$ 时,SDRRK2S 模型以正概率输出简单公式.此外,由文献[17]还可知:当 $k=3$ 并且 SDRRK2S 模型生成的格局公式存在 SAT-UNSAT 相变现象时,相应的简单公式也存在相同的相变.再加上本文关注的是严格 d -正则随机 $(3,2s)$ -SAT 问题在 s 取定时的可满足临界,因此我们没有在 SDRRK2S 模型中加入简单公式的限制.

2 可满足临界分析

本节主要使用文献[13]的方法研究严格 d -正则随机 $(3,2s)$ -SAT 问题在 s 取定时的可满足临界.这一过程主要分成两步:一是通过构造特殊随机实验得到一个特殊真值指派是一个严格 d -正则随机 $(k,2s)$ -CNF 公式解的概率的渐近表达式;二是使用一阶矩方法得到严格 d -正则随机 $(3,2s)$ -SAT 问题在 s 取定时可满足临界值的下界.

2.1 相关准备

设 F 是一个严格 d -正则随机 $(k,2s)$ -CNF 公式.如果 F 的文字全体组成的多重集是 L ,则由 SDRRK2S 模型可知, L 可作为该模型 Step 2 中的多重集 A .由 SDRRK2S 模型还可知,该模型可由 L 生成 $(2Ns)!$ 个公式.因此,该 $(2Ns)!$ 个公式中可满足的公式占比即为 F 是可满足的概率.如果 F 的文字全体组成的多重集是 L' ,则由 SDRRK2S 模型可知,此时 F 是可满足的概率与 F 的文字全体组成的多重集是 L 时相应的概率相等.因此在本节中,约定 F 的文字全体组成的多重集是某个取定的集合.

设 F 是一个严格 d -正则随机 $(k,2s)$ -CNF 公式.注意到, F 是否可满足取决于是否存在作为 F 解的真值指派.因此,可考虑使用真值指派和公式共同描述该公式可满足的可能性.设 l 是 F 的一个文字, $\sigma \in \{0,1\}^N$ 是一个真值指派.如果 $\sigma(l)=1$,则称 l 是公式 F 的由 σ 决定的 1-文字;否则是公式 F 的由 σ 决定的 0-文字.在不致混淆的情况下,简称 l 是 1-文字或 0-文字.设 $A_{(F \& \sigma)}$ 是 1-文字全体组成的多重集,而 $B_{(F \& \sigma)}$ 是 0-文字全体组成的多重集.进一步,设 $S_{(F \& \sigma)}$ 是 SDRRK2S 模型由多重集 $A_{(F \& \sigma)} \cup B_{(F \& \sigma)}$ 生成的公式全体组成的多重集.于是,真值指派 σ 是公式 F 解的概率如下:

$$\frac{|\{H \mid H \in S_{(F \& \sigma)} \text{ 并且 } H \text{ 的每个子句均包含 1-文字}\}|}{|S_{(F \& \sigma)}|}.$$

为方便起见,记为 $P_{(\sigma \rightarrow F)}$.

设 F 是一个严格 d -正则随机 $(k, 2s)$ -CNF 公式. 对于每一个 $x \in \{x_1, x_2, \dots, x_N\}$, 若 x 在 F 中的正出现次数不小于负出现次数, 令 $\sigma_F(x)=1$; 否则, 令 $\sigma_F(x)=0$. 显然, σ_F 是为 F 定义的特殊真值指派. 作为下一小节使用一阶矩方法的准备, 我们给出了概率值 $P_{(\sigma_F \rightarrow F)}$ 的两个性质.

- (1) 对于任意的真值指派 $\sigma \in \{0, 1\}^N$, 都有 $P_{(\sigma \rightarrow F)} \leq P_{(\sigma_F \rightarrow F)}$;
- (2) 通过构造一个特殊随机实验, 可得到 $P_{(\sigma_F \rightarrow F)}$ 的一个渐近表达式.

首先, 给出得到 $P_{(\sigma_F \rightarrow F)}$ 最大性性质的一个引理.

引理 1. 设 F 是一个严格 d -正则随机 $(k, 2s)$ -CNF 公式, $\sigma \in \{0, 1\}^N$ 是一个真值指派. 如果存在真值指派 $\tau \in \{0, 1\}^N$, 使得 $|A_{(F \& \sigma)}| \leq |A_{(F \& \tau)}|$, 则 $P_{(\sigma \rightarrow F)} \leq P_{(\tau \rightarrow F)}$.

证明: 不妨设 F 含 M 个子句, 则 $|A_{(F \& \sigma)} \cup B_{(F \& \sigma)}| = kM = |A_{(F \& \tau)} \cup B_{(F \& \tau)}|$. 于是可设:

$$A_{(F \& \sigma)} = \{t_1, t_2, \dots, t_a\}, B_{(F \& \sigma)} = \{t_{a+1}, t_{a+2}, \dots, t_{kM}\}, A_{(F \& \tau)} = \{T_1, T_2, \dots, T_{a+b}\}, B_{(F \& \tau)} = \{T_{a+b+1}, T_{a+b+2}, \dots, T_{kM}\},$$

其中, a 和 b 是使得 $a+b \leq kM$ 的非负整数. 设 H 是 $S_{(F \& \sigma)}$ 中任意一个公式. 如果对于任意的 $i \in [M]$ 和 $j \in [k]$, l_{ij} 表示 H 第 i 个子句中的第 j 个文字, 则 $l_{11}, l_{12}, \dots, l_{1k}, l_{21}, l_{22}, \dots, l_{2k}, \dots, l_{M1}, l_{M2}, \dots, l_{Mk}$ 是多重集 $A_{(F \& \sigma)} \cup B_{(F \& \sigma)}$ 的一个置换. 于是, 由对 $A_{(F \& \sigma)}$ 和 $B_{(F \& \sigma)}$ 的假设可知, 该置换还可表示如下:

$$t_1, t_2, \dots, t_k, t_{[(2-1)k+1]}, t_{[(2-1)k+2]}, \dots, t_{(2k)}, \dots, t_{[(M-1)k+1]}, t_{[(M-1)k+2]}, \dots, t_{(Mk)},$$

其中, 下标全体组成的集合恰好是 $[kM]$. 如果对于任意的 $i \in [M]$ 和 $j \in [k]$, 令 $L_{ij} = T_{[(i-1)k+j]}$, 则如下的格局公式:

$$(L_{11} \vee L_{12} \vee \dots \vee L_{1k}) \wedge (L_{21} \vee L_{22} \vee \dots \vee L_{2k}) \wedge \dots \wedge (L_{M1} \vee L_{M2} \vee \dots \vee L_{Mk})$$

必定属于 $S_{(F \& \tau)}$. 进一步, 如果令该格局公式为 $f(H)$, 则容易证明 f 是 $S_{(F \& \sigma)}$ 和 $S_{(F \& \tau)}$ 之间的双射函数. 设多重集 $S_1 = \{G | G \in S_{(F \& \sigma)} \text{ 并且 } G \text{ 的每个子句均包含 } 1\text{-文字}\}$, $S_2 = \{H | H \in S_{(F \& \tau)} \text{ 并且 } H \text{ 的每个子句均包含 } 1\text{-文字}\}$, 显然, 对于任意的 $G_0 \in S_1$ 都有: G_0 的每个子句均包含 $A_{(F \& \sigma)}$ 中的文字. 因此, 由双射函数 f 的定义可知, $f(G_0)$ 的每个子句均包含 $A_{(F \& \tau)}$ 中的文字. 即 $f(G_0) \in S_2$. 进一步, 由双射函数 f 是从 S_1 到 S_2 的单射可知, $|S_1| \leq |S_2|$. 最后, 由 $|S_{(F \& \sigma)}| = (kM)! = |S_{(F \& \tau)}|$ 可知, $P_{(\sigma \rightarrow F)} \leq P_{(\tau \rightarrow F)}$. 引理 1 证毕. □

设 F 是一个严格 d -正则随机 $(k, 2s)$ -CNF 公式, σ_F 是为 F 定义的特殊真值指派. 由 σ_F 的定义可知: 对于任意的真值指派 $\sigma \in \{0, 1\}^N$, 都有 $|A_{(F \& \sigma)}| \leq |A_{(F \& \sigma_F)}|$. 于是, 由引理 1 可得如下定理.

定理 1. 设 F 是一个严格 d -正则随机 $(k, 2s)$ -CNF 公式, σ_F 是为 F 定义的特殊真值指派, 则对于任意的真值指派 $\sigma \in \{0, 1\}^N$, 都有 $P_{(\sigma \rightarrow F)} \leq P_{(\sigma_F \rightarrow F)}$.

定理 1 给出了 $P_{(\sigma_F \rightarrow F)}$ 的最大性性质. 因此, 本小节余下的主要内容将是得到 $P_{(\sigma_F \rightarrow F)}$ 的一个渐近表达式. 注

意到, F 包含 $2Ns$ 个文字和 $\frac{2Ns}{k}$ 个子句. 又注意到, F 的由 σ_F 决定的 1-文字有 $\left(s + \frac{d}{2}\right)N$ 个, 0-文字有 $\left(s - \frac{d}{2}\right)N$ 个.

因此, 可先构造一个特殊随机实验来得到 $P_{(\sigma_F \rightarrow F)}$ 的一个定性表达式. 假设有编号分别为 $1, 2, \dots, \frac{2Ns}{k}$ 的 $\frac{2Ns}{k}$ 个盒子, 其中, 每个盒子均包含编号分别为 $1, 2, \dots, k$ 的 k 个格子. 如下进行随机实验: 首先, 按编号的自然顺序将盒子排序; 其次, 以概率 $0 < q < 1$ 进行 $2Ns$ 重伯努利实验, 并记实验结果分别为

$$X_1, X_2, \dots, X_k, X_{k+1}, X_{k+2}, \dots, X_{2k}, \dots, X_{2Ns-k+1}, X_{2Ns-k+2}, \dots, X_{2Ns};$$

最后, 对于任意的 $i \in \left[\frac{2Ns}{k}\right]$ 和 $j \in [k]$, 当 $X_{(i-1)k+j} = 1$ 时, 将第 i 个盒子编号为 j 的格子贴上标签 label-1, 否则贴上标

签 label-0. 记在实验中每个盒子均包含被贴上标签 label-1 的格子为事件 A , 并记标签 label-1 被贴 $\left(s + \frac{d}{2}\right)N$ 次为

事件 B . 由 $0 < q < 1$ 可知, 事件 B 发生的概率 $P(B) > 0$. 注意到: 对于任意的 $i \in \left[\frac{2Ns}{k}\right]$ 和 $j \in [k]$, 将第 i 个盒子编号为 j

的格子贴上标签 label-1 可看作在公式的第 i 个子句的第 j 个位置放置 1-文字. 因此, 由 $0 < q < 1$ 可知:

$$P_{(\sigma_F \rightarrow F)} = \frac{|\{H | H \in S_{(F \& \sigma_F)} \text{ 并且 } H \text{ 的每个子句均包含 } 1\text{-文字}\}| \left(\frac{s+d}{2}\right)^N (1-q)^{\left(\frac{s-d}{2}\right)^N}}{\left[\left(\frac{s+d}{2}\right)^N\right]! \left[\left(\frac{s-d}{2}\right)^N\right]!} = \frac{P(A \cap B)}{P(B)} = \frac{P(B|A)P(A)}{P(B)} \quad (1)$$

由事件 A 和 B 的含义可知:

$$P(A) = [1 - (1-q)^k]^{\frac{2Ns}{k}}, P(B) = \left[\left(\frac{s+d}{2}\right)^N\right]! q^{\left(\frac{s+d}{2}\right)^N} (1-q)^{\left(\frac{s-d}{2}\right)^N} \quad (2)$$

注意到,可以由 Stirling 近似得到 $P(B)$ 的一个渐近表达式.因此,由公式(1)可知,得到 $P(B|A)$ 的一个渐近表达式成为得到 $P_{(\sigma_F \rightarrow F)}$ 渐近表达式的关键.幸运的是,可以使用所谓的 Local Limit Law^[19]得到 $P(B|A)$ 的一个渐近表达式.为了使用 Local Limit Law,我们从文献[19]中摘录了一个定理作为下面的引理.

引理 2(large power and Gaussian forms)^[19]. 设 $A(z) = \sum_{j=0}^{+\infty} a_j z^j$ 和 $B(z) = \sum_{j=0}^{+\infty} b_j z^j$ 是满足以下条件的两个解析函数:(1) $A(z)$ 和 $B(z)$ 在 0 处解析并且系数非负;(2) $\gcd\{j|b_j>0\}=1$;(3) $B(0) \neq 0$;(4) $A(z)$ 和 $B(z)$ 的收敛半径满足 $1 < R_b \leq +\infty, R_b \leq R_a$. 定义两个常数: $\mu = \frac{B'(1)}{B(1)}, \sigma^2 = \frac{B''(1)}{B(1)} + \frac{B'(1)}{B(1)} - \left[\frac{B'(1)}{B(1)}\right]^2 > 0$. 设 $N = \mu n + x\sqrt{n}$, 其中, x 属于实数域上某个有限区间.如果 $[z^N](A(z)B(z)^n)$ 表示 $A(z)B(z)^n$ 的 N 次项系数,则:

$$\frac{1}{A(1)B(1)^n} [z^N](A(z)B(z)^n) = \frac{1}{\sigma\sqrt{2\pi n}} e^{-\frac{x^2}{2\sigma^2}} \left(1 + O\left(n^{-\frac{1}{2}}\right)\right),$$

其中, $O\left(n^{-\frac{1}{2}}\right)$ 表示存在常数 $C>0$,使得当 n 足够大时,有 $\left|O\left(n^{-\frac{1}{2}}\right)\right| \leq Cn^{-\frac{1}{2}}$.

设 $X_0 = X_1 + X_2 + \dots + X_k \geq 1$, 其中, X_1, X_2, \dots, X_k 是上述构造的随机实验中的前 k 重伯努利实验结果.对 X_0 独立重复观测 $\frac{2Ns}{k}$ 次.如果记各次实验结果之和为 X ,则:

$$P\left[X = \left(s + \frac{d}{2}\right)N\right] = P(B|A) \quad (3)$$

其中, A 和 B 是公式(1)上方提及的两个事件.接下来,使用引理 2 得到 $P\left[X = \left(s + \frac{d}{2}\right)N\right]$ 的一个渐近表达式.为了能够使用引理 2,令 $Y_0 = X_0 - 1$,此时,如果对 Y_0 独立重复观测 $\frac{2Ns}{k}$ 次并记各次实验结果之和为 Y ,则:

$$P\left[Y = \left(s + \frac{d}{2}\right)N - \frac{2Ns}{k}\right] = P\left[X = \left(s + \frac{d}{2}\right)N\right] \quad (4)$$

因此,接下来的工作就是利用引理 2 得到 $P\left[Y = \left(s + \frac{d}{2}\right)N - \frac{2Ns}{k}\right]$ 的一个渐近表达式.

注意到, Y_0 的概率生成函数为 $f(x) = \frac{1}{1 - (1-q)^k} \sum_{i=1}^k \binom{k}{i} q^i (1-q)^{k-i} x^{i-1}$. 因此,可设 $A(z) \equiv 1, B(z) \equiv f(z)$. 容易看出,

$A(z)$ 和 $B(z)$ 满足引理 2 条件.经过计算可得 $\mu = \frac{kq}{1 - (1-q)^k} - 1$. 由 $f(x)$ 的系数及文献[20]可知:

$$\sigma^2 > 0 \quad (5)$$

其中, σ 是 k 和 q 的表达式. 于是, 由引理 2 可知, 如果 $\left(\frac{kq}{1-(1-q)^k} - 1\right) \frac{2Ns}{k}$ 是正整数, 则:

$$\begin{aligned}
 P\left[Y = \left(\frac{kq}{1-(1-q)^k} - 1\right) \frac{2Ns}{k}\right] &= P\left[Y = \left(\frac{kq}{1-(1-q)^k} - 1\right) \frac{2Ns}{k} + 0\sqrt{\frac{2Ns}{k}}\right] \\
 &= \frac{\left[\left(\frac{kq}{1-(1-q)^k} - 1\right) \frac{2Ns}{k} + 0\sqrt{\frac{2Ns}{k}}\right] \binom{2Ns}{\left(\frac{kq}{1-(1-q)^k} - 1\right) \frac{2Ns}{k}}}{A(1)B(1)^{\frac{2Ns}{k}}} \\
 &= \frac{1}{2\sigma\sqrt{\frac{\pi Ns}{k}}} \left[1 + O\left(\left(\frac{2Ns}{k}\right)^{-\frac{1}{2}}\right)\right]
 \end{aligned} \tag{6}$$

进一步, 如果 $\left(s + \frac{d}{2}\right)N - \frac{2Ns}{k} = \left(\frac{kq}{1-(1-q)^k} - 1\right) \frac{2Ns}{k}$, 则由公式(3)、公式(4)以及公式(6), 可得 $P(B|A)$ 的一个渐近表达式如下:

$$P(B|A) = \frac{1}{2\sigma\sqrt{\frac{\pi Ns}{k}}} \left[1 + O\left(\left(\frac{2Ns}{k}\right)^{-\frac{1}{2}}\right)\right] \tag{7}$$

综上, 由公式(1)、公式(2)以及公式(7)可得如下定理.

定理 2. 设 F 是一个严格 d -正则随机 $(k, 2s)$ -CNF 公式, σ_F 是为 F 定义的特殊真值指派, 而 q 是上述构造的随机实验中的概率值. 如果 $\frac{q}{1-(1-q)^k} = \frac{2s+d}{4s}$, 则:

$$P_{(\sigma_F \rightarrow F)} = \frac{[1-(1-q)^k]^{\frac{2Ns}{k}} \left[1 + O\left(\left(\frac{2Ns}{k}\right)^{-\frac{1}{2}}\right)\right]}{2\sigma\sqrt{\frac{\pi Ns}{k}} \binom{2Ns}{\left(s + \frac{d}{2}\right)N} q^{\left(s + \frac{d}{2}\right)N} (1-q)^{\left(s - \frac{d}{2}\right)N}},$$

其中, N 是 F 的变量个数; $O\left(\left(\frac{2Ns}{k}\right)^{-\frac{1}{2}}\right)$ 表示存在常数 $C > 0$, 使得当 $\frac{2Ns}{k}$ 足够大时, 有 $\left|O\left(\left(\frac{2Ns}{k}\right)^{-\frac{1}{2}}\right)\right| \leq C\left(\frac{2Ns}{k}\right)^{-\frac{1}{2}}$;

而 σ 如公式(5)所示.

进一步, 由 Stirling 近似可得定理 2 的如下推论.

推论 1. 设 F 是一个严格 d -正则随机 $(k, 2s)$ -CNF 公式, σ_F 是为 F 定义的特殊真值指派. 如果 $2s > d$ 并且方程 $\frac{q}{1-(1-q)^k} = \frac{2s+d}{4s}$ 在 $(0, 1)$ 内存在根 q , 则:

$$P_{(\sigma_F \rightarrow F)} = \frac{[1-(1-q)^k]^{\frac{2Ns}{k}} \left[1 + O\left(\left(\frac{2Ns}{k}\right)^{-\frac{1}{2}}\right)\right] \sqrt{k} \left(1 + \frac{d}{2s}\right)^{\frac{N(2s+d)+1}{2}} \left(1 - \frac{d}{2s}\right)^{\frac{N(2s-d)+1}{2}}}{2^{2Ns+1} \sigma q^{\left(s + \frac{d}{2}\right)N} (1-q)^{\left(s - \frac{d}{2}\right)N} [1 + o(1)]},$$

其中, $\lim_{N \rightarrow +\infty} o(1) = 0$.

在下一小节, 我们将研究严格 d -正则随机 $(3, 2s)$ -SAT 问题的可满足临界. 这意味着 $k=3$. 因此, 作为本小节的

结束,经过简单计算,给出 $k=3$ 和 $2s>d$ 时方程 $\frac{q}{1-(1-q)^k} = \frac{2s+d}{4s}$ 在 $(0,1)$ 内的根 q 如下.

引理 3. 设 F 是一个严格 d -正则随机 $(3,2s)$ -CNF 公式.如果 $2s>d$,则方程 $\frac{q}{1-(1-q)^3} = \frac{2s+d}{4s}$ 在 $(0,1)$ 内存在唯一根: $q = \frac{3(2s+d) - \sqrt{(2s+d)(10s-3d)}}{2(2s+d)}$.

设 F 是一个严格 d -正则随机 $(k,2s)$ -CNF 公式, σ_F 是为 F 定义的特殊真值指派.显然,定理 1 和推论 1 分别给出了 $P_{(\sigma_F \rightarrow F)}$ 的最大性性质和一个渐近表达式.这两个结论是下一小节使用一阶矩方法得到严格 d -正则随机 $(3,2s)$ -SAT 问题在 s 取定时可满足临界值下界的基础.

2.2 可满足临界

设 F 是一个严格 d -正则随机 $(k,2s)$ -CNF 公式, Ω 是 F 的解的个数.由 Markov 不等式可知, $P(F \text{ 是可满足的}) = P(\Omega \geq 1) \leq E[\Omega]$.于是,当 $E[\Omega] \ll 1$ 时,公式 F 是高概率不可满足的.注意到:如果 $\lim_{N \rightarrow +\infty} \ln E[\Omega] = -\infty$,则当 N 足够大时, $E[\Omega] \ll 1$.因此,如果 $\lim_{N \rightarrow +\infty} \ln E[\Omega] = -\infty$,则当 N 足够大时,公式 F 是高概率不可满足的.基于这一结论,我们给出了下面 3 个引理,并由此得到了严格 d -正则随机 $(3,2s)$ -SAT 问题在 s 取定时可满足临界值的一个下界.

注意到:如果 $\lim_{N \rightarrow +\infty} \frac{\ln E[\Omega]}{N} < 0$,则 $\lim_{N \rightarrow +\infty} \ln E[\Omega] = -\infty$.因此,先给出下面的关于 $\lim_{N \rightarrow +\infty} \frac{\ln E[\Omega]}{N}$ 的引理.

引理 4. 设 F 是一个严格 d -正则随机 $(3,2s)$ -CNF 公式, Ω 是 F 解的个数.如果 $2s>d$,则 $\lim_{N \rightarrow +\infty} \frac{\ln E[\Omega]}{N} \leq g(d)$, 其中,

$$g(x) = \left(1 - \frac{4s}{3}\right) \ln 2 + \left(\frac{5s}{3} + \frac{x}{2}\right) \ln(2s+x) - \frac{4s}{3} \ln s + \left(s - \frac{x}{2}\right) \ln(2s-x) - \left(\frac{s}{3} + \frac{x}{2}\right) \ln[3(2s+x) - \sqrt{(2s+x)(10s-3x)}] - \left(s - \frac{x}{2}\right) \ln[-(2s+x) + \sqrt{(2s+x)(10s-3x)}], x \in [0, 2s-2].$$

证明:由定理 1 可知, $E[\Omega] \leq 2^N P_{(\sigma_F \rightarrow F)}$.于是,由 $2s>d$ 、引理 3 和推论 1 可知:

$$\lim_{N \rightarrow +\infty} \frac{\ln E[\Omega]}{N} \leq \lim_{N \rightarrow +\infty} \left(\ln 2 + \frac{\ln P_{(\sigma_F \rightarrow F)}}{N} \right) = (1-2s) \ln 2 + \frac{2s}{3} \ln[1-(1-q)^3] + \left(s + \frac{d}{2}\right) \ln\left(1 + \frac{d}{2s}\right) + \left(s - \frac{d}{2}\right) \ln\left(1 - \frac{d}{2s}\right) - \left(s + \frac{d}{2}\right) \ln q - \left(s - \frac{d}{2}\right) \ln(1-q).$$

进一步,由引理 3 可知,该引理成立. □

设 $g(x)$ 和 d 如引理 4 所示.如果 $g(d)<0$,则由引理 4 可知, $\lim_{N \rightarrow +\infty} \frac{\ln E[\Omega]}{N} < 0$.因此,需要研究什么条件使得 $g(x)<0$.注意到, $x \in [0, 2s-2]$.为此,我们研究了 $g(x)$ 在 0 处和 $2s-2$ 处的取值情况.

引理 5. 设 $g(x)$ 是引理 4 中定义的函数,则:(1) 当 $s \geq 6$ 时, $g(0)<0$; (2) $g(2s-2)>0$.

证明:先来证明结论(1).经过计算可得, $g(0) = \ln 2 - \frac{s}{3} \ln(3-\sqrt{5}) - s \ln(-1+\sqrt{5})$.为此,考虑函数:

$$h(x) = \ln 2 - \frac{x}{3} \ln(3-\sqrt{5}) - x \ln(-1+\sqrt{5}), x \in [1, +\infty).$$

注意到:

$$h'(x) = -\frac{1}{3} \ln[(3-\sqrt{5})(-1+\sqrt{5})^3] = -\frac{1}{3} \ln(-88+40\sqrt{5}) < -\frac{1}{3} \ln(-88+40 \times 2.23) = -\frac{1}{3} \ln 1.2 < 0,$$

$$h(6) = -\ln \frac{(3-\sqrt{5})^2(-1+\sqrt{5})^6}{2} = -\ln[32(-11+5\sqrt{5})^2] < -\ln[5.6^2(-11+5 \times 2.236)^2] = -2 \ln 1.008 < 0.$$

因此,由 $s \geq 6$ 可知,结论(1)成立.再来证明结论(2).经过计算可得:

$$g(2s-2) = \ln 2 + \left(\frac{8s}{3}-1\right)\ln(2s-1) - \frac{4s}{3}\ln s - \left(\frac{4s}{3}-1\right)\ln[3(2s-1) - \sqrt{(2s-1)(2s+3)}] - \ln[\sqrt{(2s-1)(2s+3)} - (2s-1)].$$

为此,考虑定义在 $[1,+\infty)$ 上的函数:

$$H(x) = \ln 2 + \left(\frac{8x}{3}-1\right)\ln(2x-1) - \frac{4x}{3}\ln x - \left(\frac{4x}{3}-1\right)\ln[3(2x-1) - \sqrt{(2x-1)(2x+3)}] - \ln[\sqrt{(2x-1)(2x+3)} - (2x-1)].$$

经过计算和整理可得, $H'(x) = \frac{4}{3} \ln \frac{(2x-1)^2}{3x(2x-1) - x\sqrt{(2x-1)(2x+3)}}$.

注意到, $(2x-1)^2 - 3x(2x-1) + x\sqrt{(2x-1)(2x+3)} = \sqrt{2x-1}(x\sqrt{2x+3} - (x+1)\sqrt{2x-1}) > 0$.

又注意到, $H(1) = \frac{1}{3} \ln \frac{8}{(3-\sqrt{5})(-1+\sqrt{5})^3} = \frac{1}{3} \ln \frac{11+5\sqrt{5}}{4} > 0$.

于是,由 $s \geq 1$ 可知, $g(2s-2) = H(s) > 0$,即结论(2)得证. □

设 $g(x)$ 是引理 4 中定义的函数.由引理 5 可知,研究什么条件使得 $g(x) < 0$,还需考虑 $g(x)$ 在定义域内的单调性.为此,有下述引理.

引理 6. 引理 4 中定义的函数 $g(x)$ 在定义域内单调递增.

证明:经过计算可得:

$$g'(x) = \frac{1}{2} \ln \frac{(2s+x)(-(2s+x) + \sqrt{(2s+x)(10s-3x)})}{(2s-x)(3(2s+x) - \sqrt{(2s+x)(10s-3x)})} = \frac{1}{2} \ln \frac{2(2s+x)}{3x-2s + \sqrt{(2s+x)(10s-3x)}}.$$

注意到:

$$\ln \frac{2(2s+x)}{3x-2s + \sqrt{(2s+x)(10s-3x)}} = \ln \left[1 + \frac{6s-x - \sqrt{(2s+x)(10s-3x)}}{3x-2s + \sqrt{(2s+x)(10s-3x)}} \right] > \frac{6s-x - \sqrt{(2s+x)(10s-3x)}}{2(2s+x)} > 0.$$

因此, $g'(x) > 0$. 于是,结论得证.引理 6 证毕. □

现在,根据引理 4~引理 6 并结合一阶矩方法,可得到严格 d -正则随机 $(3,2s)$ -SAT 问题在 s 取定时可满足临界值的一个下界如下.

定理 3. 设 F 是一个严格 d -正则随机 $(3,2s)$ -CNF 公式.如果 $s \geq 6$ 并且 $2s > d$,则当 $d < d_0$ 并且 N 足够大时,公式 F 是高概率不可满足的,其中, d_0 是引理 4 中定义的函数 $g(x)$ 在区间 $(0,2s-2)$ 内的唯一零点.

注意到, F 是一个严格 d -正则随机 $(3,2s)$ -CNF 公式.因此,可以为 F 定义特殊真值指派 σ_F .由 σ_F 的定义可知:当 $2s=d$ 时, σ_F 是 F 的解,即 F 是可满足的.因此,在定理 3 中加入了条件 $2s > d$.

证明:由引理 5 和引理 6 可知:当 $s \geq 6$ 时,引理 4 中定义的函数 $g(x)$ 在区间 $(0,2s-2)$ 内存在唯一零点 d_0 .设 Ω 是 F 解的个数,则由 $2s > d$ 、引理 4、引理 6 以及 $d < d_0$ 可知, $\lim_{N \rightarrow +\infty} \frac{\ln E[\Omega]}{N} \leq g(d) < g(d_0) = 0$,从而 $\lim_{N \rightarrow +\infty} \ln E[\Omega] = -\infty$.

于是,由本小节开始时的讨论可知:当 $d < d_0$ 并且 N 足够大时,公式 F 是高概率不可满足的.定理 3 证毕. □

定理 3 的证明给出了唯一零点 d_0 的存在性.由函数 $g(x)$ 表达式的复杂性可知,不太容易给出 d_0 的表达式.作为替代,表 1 给出了当 $s=10,20,\dots,100$ 时 d_0 的数值解.注意:对于任意取定的 s ,求出 d_0 的数值解是容易的.

Table 1 Numerical solutions of the null point d_0 when $s \in \{10,20,\dots,100\}$

表 1 当 $s=10,20,\dots,100$ 时,唯一零点 d_0 的数值解

s	d_0	s	d_0
10	2.803 7	60	59.682 4
20	11.831 0	70	72.972 7
30	22.603 8	80	86.574 7
40	34.358 5	90	100.437 7
50	46.775 6	100	114.523 4

3 模拟实验

根据定理 3 的条件 $d < d_0$,结合表 1,我们分别选择了 $s=20,30,40,50,60$;同时,根据条件 N 足够大,我们分别选

择了 $N=165,180,195,210$.现在,以 $s=30$ 为例,说明模拟实验如何进行.当 $s=30$ 时,由表 1 可知, d_0 的数值解是 22.6038.为此,需分别取 $d=0,2,\dots,22$.当 $s=30$ 时,对于任意的 $N \in \{165,180,195,210\}$ 和 $d \in \{0,2,\dots,22\}$,我们按照如下步骤进行一次实验.

- Step 1. 设 $k=3$,用 SDRRK2S 模型生成 100 个实例.
- Step 2. 使用 Zchaff 求解器^[12]分别求解这 100 个实例.记求解器成功求解的实例总数是 n ,并记不可满足实例总数是 n_u .
- Step 3. 计算 n_u/n 并记之为 r_s .显然, r_s 表示在成功求解实例中不可满足实例所占比例.

注意到:当 $s=30$ 时,总共需要进行 $4 \times 12=48$ 次实验,而且在各次实验中,三元对 (s,N,d) 互不相同.为方便讨论,记此 48 次实验中的任意一个是 E .设 F 是一个严格 d -正则随机 $(3,2s)$ -CNF 公式,其中,参数 s,N 以及 d 恰好是实验 E 中三元对的各相应值,则实验 E 的 100 个实例可看作对公式 F 的 100 次模拟.进一步,实验 E 的 r_s 可看作对 F 是不可满足的概率的模拟.这说明,我们的实验是合理的.

表 2~表 4 分别给出了 $s=20,30,40$ 时的模拟实验结果,其中,11.8310,22.6038,34.3585 分别是 $s=20,30,40$ 时 d_0 的数值解.由表 2 可知:当 $s=20$ 时,对于任取的 $d < 11.8310$ 和 $N \in \{165,180,195,210\}$,都有 $r_s=1$.注意到, r_s 可看作对公式是不可满足的概率的模拟.因此,表 2 支持定理 3.同理,表 3 和表 4 也均支持定理 3.

Table 2 Values of r_s when $s=20$ and $d < 11.8310$

表 2 当 $s=20$ 并且 $d < 11.8310$ 时的 r_s 值

d	0	2	4	6	8	10
$N=165$	1	1	1	1	1	1
$N=180$	1	1	1	1	1	1
$N=195$	1	1	1	1	1	1
$N=210$	1	1	1	1	1	1

Table 3 Values of r_s when $s=30$ and $d < 22.6038$

表 3 当 $s=30$ 并且 $d < 22.6038$ 时的 r_s 值

d	0	2	4	6	8	10	12	14	16	18	20	22
$N=165$	1	1	1	1	1	1	1	1	1	1	1	1
$N=180$	1	1	1	1	1	1	1	1	1	1	1	1
$N=195$	1	1	1	1	1	1	1	1	1	1	1	1
$N=210$	1	1	1	1	1	1	1	1	1	1	1	1

Table 4 Values of r_s when $s=40$ and $d < 34.3585$

表 4 当 $s=40$ 并且 $d < 34.3585$ 时的 r_s 值

d	0	2	4	6	8	10	12	14	16	18	20	22	24	26	28	30	32	34
$N=165$	1	1	1	1	1	1	1	1	1	1	1	1	1	1	1	1	1	1
$N=180$	1	1	1	1	1	1	1	1	1	1	1	1	1	1	1	1	1	1
$N=195$	1	1	1	1	1	1	1	1	1	1	1	1	1	1	1	1	1	1
$N=210$	1	1	1	1	1	1	1	1	1	1	1	1	1	1	1	1	1	1

此外,同表 2~表 4 中各个 r_s 均等于 1 一样,当 $s=50,60$ 时,模拟实验结果也均为 $r_s=1$ (为节约篇幅,我们没有展示这些结果).因此, $s=50,60$ 时的模拟实验结果也均支持定理 3.综上,模拟实验结果验证了理论证明所得下界的正确性.

注意到:在上述模拟实验中,各个 r_s 均等于 1.这说明定理 3 所得下界仍然比较粗糙,需要进一步改进.

4 结 论

基于严格正则 $(k,2s)$ -CNF 公式,我们提出了每个变量正负出现次数之差的绝对值均为 d 的严格 d -正则 $(k,2s)$ -CNF 公式.我们使用了新提出的 SDRRK2S 模型生成严格 d -正则随机 $(k,2s)$ -CNF 公式.初步进行的模拟实验表明:当整数 $5 < s < 11$ 取定时,参数 d 不仅与严格 d -正则随机 $(3,2s)$ -CNF 公式是否可满足有关,还与求解该类公式的难度有关.因此,立足于 3-CNF 公式的随机难解实例生成,我们研究了严格 d -正则随机 $(3,2s)$ -SAT 问题在 s

取定时的可满足临界.通过构造一个特殊随机实验以及使用一阶矩方法,我们得到了该可满足临界值的一个下界.随后进行的模拟实验结果,验证了理论证明所得下界的正确性.

需要说明的是:从模拟实验结果看,本文所得下界仍然比较粗糙,需要进一步改进.此外,研究讨论该可满足临界值的上界以确定 SAT-UNSAT 相变点也十分必要.这些工作将为研究参数 d 如何影响公式求解难度以及设计随机难解实例生成算法奠定基础.

References:

- [1] Levin LA. Universal sequential search problems. *Problemy Peredachi Informatsii*, 1973,9(3):115–116.
- [2] Friedgut E, Bourgain J. Sharp thresholds of graph properties, and the k -sat problem. *Journal of the American Mathematical Society*, 1999,12(4):1017–1054. [doi: 10.1090/S0894-0347-99-00305-7]
- [3] Kaporis AC, Kirousis LM, Lalas EG. The probabilistic analysis of a greedy satisfiability algorithm. *Random Structures & Algorithms*, 2006,28(4):444–480. [doi: 10.1002/rsa.20104]
- [4] Díaz J, Kirousis L, Mitsche D, Pérez-Giménez X. On the satisfiability threshold of formulas with three literals per clause. *Theoretical Computer Science*, 2009,410(30-32):2920–2934. [doi: 10.1016/j.tcs.2009.02.020]
- [5] Lundow PH, Markström K. Revisiting the cavity-method threshold for random 3-SAT. *Physical Review E*, 2019,99(2):022106(5).
- [6] Crawford JM, Auton LD. Experimental results on the crossover point in random 3-SAT. *Artificial Intelligence*, 1996,81(1-2):31–57. [doi: 10.1016/0004-3702(95)00046-1]
- [7] Selman B, Kirkpatrick S. Critical behavior in the computational cost of satisfiability testing. *Artificial Intelligence*, 1996,81(1-2):273–295. [doi: 10.1016/0004-3702(95)00056-9]
- [8] Monasson R, Zecchina R, Kirkpatrick S, Selman B, Troyansky L. Determining computational complexity from characteristic ‘phase transitions’. *Nature*, 1999,400(6740):133–137. [doi: 10.1038/22055]
- [9] Braunstein A, Mézard M, Zecchina R. Survey propagation: An algorithm for satisfiability. *Random Structures & Algorithms*, 2002,27(2):201–226. [doi: 10.1002/rsa.20057]
- [10] Xu DY, Wang XF. A regular NP-complete problem and its inapproximability. *Journal of Frontiers of Computer Science and Technology*, 2013,7(8):691–697 (in Chinese with English abstract). [doi: 10.3778/j.issn.1673-9418.1305025]
- [11] Zhou JC, Xu DY, Lu YJ, Dai CK. Strictly regular random $(3,s)$ -SAT model and its phase transition phenomenon. *Journal of Beijing University of Aeronautics and Astronautics*, 2016,42(12):2563–2571 (in Chinese with English abstract). [doi: 10.13700/j.bh.1001-5965.2015.0845]
- [12] Mahajan YS, Fu ZH, Malik S. Zchaff2004: An efficient SAT solver. In: Hoos HH, Mitchell DG, eds. *Theory & Applications of Satisfiability Testing*. Berlin: Springer-Verlag, 2004. 360–375. [doi: 10.1007/11527695_27]
- [13] Zhou JC, Xu DY, Lu YJ. Satisfiability threshold of the regular random (k,r) -SAT problem. *Ruan Jian Xue Bao/Journal of Software*, 2016,27(12):2985–2993 (in Chinese with English abstract). <http://www.jos.org.cn/1000-9825/5129.htm> [doi: 10.13328/j.cnki.jos.005129]
- [14] Sumedha, Krishnamurthy S, Sahoo S. Balanced k -satisfiability and biased random k -satisfiability on trees. *Physical Review E*, 2013,87(4):042130(9). [doi: 10.1103/PhysRevE.87.042130]
- [15] Zhou JC, Xu DY, Lu YJ. Satisfiability threshold of regular (k,r) -SAT problem via IRSB theory. *Journal of Huazhong University of Science and Technology (Natural Science Edition)*, 2017,45(12):7–13 (in Chinese with English abstract). [doi: 10.13245/j.hust.171202]
- [16] Coja-Oghlan A, Wormald N. The number of satisfying assignments of random regular k -SAT formulas. *Combinatorics, Probability and Computing*, 2018,27:496–530. [doi: 10.1017/S0963548318000263]
- [17] Boufkhad Y, Dubois O, Interian Y, Selman B. Regular random k -SAT: Properties of balanced formulas. *Journal of Automated Reasoning*, 2005,35:181–200. [doi: 10.1007/978-1-4020-5571-3_9]
- [18] Rathi V, Aurell E, Rasmussen L, Skoglund M. Bounds on threshold of regular random k -SAT. In: Strichman O, Szeider S, eds. *Theory & Applications of Satisfiability Testing-SAT 2010*. Berlin: Springer-Verlag, 2010. 264–277. [doi: 10.1007/978-3-642-14186-7_22]

- [19] Flajolet P, Sedgewick R. Analytic Combinatorics. Cambridge: Cambridge University Press, 2009. 592–593. [doi: 10.1017/CBO9780511801655]
- [20] Richardson T, Urbanke R. Modern Coding Theory. Cambridge: Cambridge University Press, 2008. 508–510. [doi: 10.1017/CBO9780511791338]

附中文参考文献:

- [10] 许道云,王晓峰.一个正则 NP-完全问题及其不可近似性.计算机科学与探索,2013,7(8):691–697. [doi: 10.3778/j.issn.1673-9418.1305025]
- [11] 周锦程,许道云,卢友军,代寸宽.严格随机正则 $(3,s)$ -SAT 模型及其相变现象.北京航空航天大学学报,2016,42(12):2563–2571. [doi: 10.13700/j.bh.1001-5965.2015.0845]
- [13] 周锦程,许道云,卢友军.随机正则 (k,r) -SAT 问题的可满足临界.软件学报,2016,27(12):2985–2993. <http://www.jos.org.cn/1000-9825/5129.htm> [doi: 10.13328/j.cnki.jos.005129]
- [15] 周锦程,许道云,卢友军.基于 IRSB 的正则 (k,r) -SAT 问题可满足临界.华中科技大学学报(自然科学版),2017,45(12):7–13. [doi: 10.13245/j.hust.171202]



王永平(1980—),男,讲师,主要研究领域为计算复杂性,可计算性分析.



许道云(1959—),男,博士,教授,博士生导师,CCF 高级会员,主要研究领域为计算复杂性,可计算性分析.